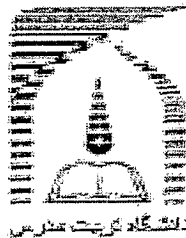


بے نام پروگرگار سکانی و توانا

۹۸۴۷۶



دانشگاه تربیت مدرس  
دانشکده فنی و مهندسی

### پایان نامه دوره کارشناسی ارشد مهندسی مکانیک سنگ

### بررسی جریان هیدرولیکی در محل پی سد گتوند

تهیه کننده:

همایون کردی

استاد راهنما:

دکتر کامران گشتاسبی

استاد مشاور:

مهندس محمود دلفروزی

۱۳۸۷ / ۲ / ۰

زمستان ۱۳۸۶

۹۳۲۷۶

۲۷

## دستورالعمل حق مالکیت مادی و معنوی در مورد نتایج پژوهش‌های علمی دانشگاه تربیت مدرس

مقدمه: با عنایت به سیاست‌های پژوهشی دانشگاه در راستای تحقق عدالت و کرامت انسانها که لازمه شکوفایی علمی و فنی است و رعایت حقوق مادی و معنوی دانشگاه و پژوهشگران، لازم است اعضای هیات علمی، دانشجویان، دانش آموختگان و دیگر همکاران طرح، در مورد نتایج پژوهش‌های علمی که تحت عنوانین پایان‌نامه، رساله و طرحهای تحقیقاتی که با هماهنگی دانشگاه انجام شده است، موارد ذیل را رعایت نمایند:

ماده ۱- حقوق مادی و معنوی پایان نامه‌ها / رساله‌های مصوب دانشگاه متعلق به دانشگاه است و هرگونه بهره‌برداری از آن باید با ذکر نام دانشگاه و رعایت آیین‌نامه‌ها و دستورالعمل‌های مصوب دانشگاه باشد.

ماده ۲- انتشار مقاله یا مقالات مستخرج از پایان نامه / رساله به صورت چاپ در نشریات علمی و یا ارائه در مجامع علمی باید به نام دانشگاه بوده و استاد راهنما مسئول مکاتبات مقاله باشد. تبصره: در مقالاتی که پس از دانش آموختگی بصورت ترکیبی از اطلاعات جدید و نتایج حاصل از پایان‌نامه / رساله نیز منتشر می‌شود نیز باید نام دانشگاه درج شود.

ماده ۳- انتشار کتاب حاصل از نتایج پایان نامه / رساله و تمامی طرحهای تحقیقاتی دانشگاه باید با مجوز کتبی صادره از طریق حوزه پژوهشی دانشگاه و بر اساس آئین نامه‌های مصوب انجام می‌شود.

ماده ۴- ثبت اختراع و تدوین دانش فنی و یا ارائه در چشمواره‌های ملی، منطقه‌ای و بین‌المللی که حاصل نتایج مستخرج از پایان نامه / رساله و تمامی طرح‌های تحقیقاتی دانشگاه باید با هماهنگی استاد راهنما یا مجری طرح از طریق حوزه پژوهشی دانشگاه انجام گیرد.

ماده ۵- این دستورالعمل در ۵ ماده و یک تبصره در تاریخ ۱۴۸۴/۳/۲۵ در شورای پژوهشی دانشگاه به تصویب رسیده و از تاریخ تصویب لازم الاجرا است و هرگونه تخلف از مفاد این دستورالعمل، از طریق مراجع قانونی قابل پیگیری خواهد بود.



تقدیم به

## مادر مهربان

و

## پدر بزرگوارم

به خاطر تمام زحمتها و حمایتهای بی پایانشان

## چکیده:

در هنگام احداث سازه‌های آبی مثل سد، بررسی جریان هیدرولیکی یا جریان آب در نقاط مختلف این سازه‌ها یک امر ضروری می‌باشد. به همین منظور همواره در هنگام مطالعات امکان سنجی و اکتشافی بر روی ساختگاه سد اندازه گیری خصوصیات درزه‌های موجود در محل پی سد و نیز انجام آزمایش‌های لوزن یا لوفران در دستور کار قرار می‌گیرد و در نهایت با توجه به نتایج حاصل از بررسیهای فوق می‌توان ضریب نفوذ پذیری را در محدوده ساختگاه سد محاسبه کرده و با توجه به این محاسبات زونهای تراوا را در محدوده ساختگاه سد مشخص نمود. در ادامه نیز با در نظر گرفتن ستون آب یا ارتفاع آب ایجاد شده بعد از آبگیری، شرایط مرزی خاص سد مورد نظر را اعمال نموده و میزان نشت از پی سد و نیز پراکندگی هد هیدرولیکی یا پتانسیل هیدرولیکی در تمام نقاط محاسبه می‌شود.

در تحقیق حاضر بعد از بررسی وضعیت زمین شناسی منطقه و بخصوص ناپیوستگیهای موجود در آن و نیز با توجه به نتایج آزمایش‌های لوزن انجام گرفته، ابتدا به اندازه گیری میزان ضریب نفوذ پذیری در محل پی سد گتوند پرداخته شد.

جهت اندازه گیری میزان نشت از پی سد بعد از ساخت مدل هندسی سد مذکور، با توجه به اینکه محیط ما از نظر تراوایی غیرهمگن می‌باشد، از روش‌های مختلف درون یابی برای تخمین مقادیر لوزن در تمام محوطه پی سد استفاده گردید. در نهایت بهترین روش با بیشترین ضریب همگرایی شناسایی و مقادیر لوزن و نفوذ پذیری با استفاده از این روش در تمام نقاط موجود در مدل تخمین زده شد. سپس با اعمال سیستم آب بند طراحی شده برای سد و نیز شرایط مرزی ارتفاع آب در زمانهای مختلف آبگیری، میزان نشت در محل پی سد محاسبه گردید. در نهایت نیز جهت ارزیابی عملکرد سیستم آب بند این تحلیل با در نظر گرفتن اعمق مختلف برای سیستم آب بند و نیز نفوذ پذیریهای معادل مختلف برای پرده آب بند تکرار گردید.

با توجه به نتایج بدست آمده ازین تحقیق می‌توان گفت که سیستم آب بند فعلی سد گتوند دارای کارایی مناسبی جهت آب بندی پی در محل ساختگاه سد می‌باشد.

واژگان کلیدی: نشت، لوزن، ضریب نفوذ پذیری، روش عددی

## فهرست مطالب:

صفحه	عنوان
۱	مقدمه
۶	محاسبه ضریب هدایت هیدرولیکی و ویژگیهای جریان
۶	۱-۱: اندازه‌گیری ضریب هدایت هیدرولیکی یا ضریب نفوذ پذیری
۱۱	۱-۲: اندازه‌گیری ضریب نفوذ پذیری به روش برجا
۱۷	۱-۲-۱: رابطه لوزن و ضریب نفوذ پذیری
۱۹	۱-۳-۱: جریان دو بعدی در داخل یک ناپیوستگی با پر شدن
۲۰	۱-۳-۲: جریان در داخل ناپیوستگیهای بدون پرشدن
۲۴	۱-۳-۳: جریان در داخل یک دسته درزه
۲۶	۱-۳-۴: محاسبه ماتریس نفوذپذیری برای توده سنگ
۲۹	محاسبه نشت و درون یابی
۳۰	۲-۱: حرکت آب در محیط‌های متخلخل
۳۰	۲-۲: روش‌های حل مسائل حرکت آب در محیط همگن
۳۰	۲-۲-۱: روش تحلیلی
۳۰	۲-۲-۲: روش عددی
۳۱	۲-۲-۳: مدل‌های فیزیکی
۳۳	۴-۲-۱: مدل‌های شبیه سازی الکتریکی
۳۵	۴-۲-۲: مدل‌های شبیه سازی حرکت آب در توده سنگ
۳۵	۴-۳-۱: مدل‌های پیوسته
۳۵	۴-۳-۲: مدل شبکه درزهای گستته
۳۶	۴-۳-۳: مدل شبکه کانالها
۳۷	۴-۴-۱: محاسبه نشت از پی سد
۳۷	۴-۴-۲: محاسبات نشت به وسیله شبکه جریان
۳۹	۴-۴-۳: محاسبات نشت با روش‌های تحلیلی

## فصل سوم

سد گتوند علیا و بررسی جریان هیدرولیکی

- ۴۲: محاسبه نشت با استفاده از روش تحلیلی تکه‌ها ۳-۴-۲
- ۴۳: آب بندی سدها ۵-۲
- ۴۴: کترل نشت به کمک دیواره حائل ۱-۵-۲
- ۴۵: میزان تاثیرسیستم آب بند ۲-۵-۲
- ۴۶: درون یابی ۶-۲
- ۴۷: روش مثلثی ۱-۶-۲
- ۴۷: روش همبستگی نمایی ۲-۶-۲
- ۴۷: روش نزدیکترین نقاط ۳-۶-۲
- ۴۷: روش چند ضلعی یا همسایگان طبیعی ۴-۶-۳
- ۴۸: روش معکوس فاصله ۵-۶-۲
- ۴۸: روش معکوس توان فاصله ۶-۶-۲
- ۴۹: روش زمین آماری کریجینگ ۷-۶-۲
- ۴۹: روش استفاده از الگوریتم نرم ۸-۶-۲
- ۰۰: اطلاعات کلی سد ۱-۳
- ۰۶: زمین‌شناسی ۱-۳
- ۰۷: زمین‌شناسی ساختمانی ۲-۱-۳
- ۰۹: هیدرورژئولوژی ۳-۱-۳
- ۱۰: نفوذ پذیری ۴-۱-۳
- ۶۲: محاسبه نفوذپذیری در محل پی سد گتوند ۲-۳
- ۶۲: روش غیرمستقیم ۱-۲-۳
- ۶۵: روش مستقیم ۲-۲-۳
- ۶۶: شبیه سازی نشت از پی سد گتوند ۳-۳
- ۶۷: تخمین مقادیر لوزن ۱-۳-۳
- ۶۹: دسته بندی مقادیر لوزن جهت تبدیل به نفوذپذیری ۲-۳-۳
- ۷۰: آنالیز عددی تراوش به صورت سه بعدی ۳-۳-۳
- ۷۲: اصول جریان حرارتی ۳-۳-۳

۷۳	۴-۳-۳: توزیع خواص در محدوده طرح
۷۵	۳-۳-۳: بارگذاری حرارتی (هیدرولیکی) روی مدل المان محدود
۷۷	۳-۴: آنالیز تراوش و بررسی مسیر جریان
۷۹	۳-۵: مقایسه نتایج آنالیز به روش عددی با روش‌های تحلیلی
۸۰	۳-۶: محاسبه نیروهای حاصل از تراوش (فشار متغیر)
۸۱	۳-۷: ارزیابی عملکرد سیستم آب‌بند
	فصل چهارم نتیجه گیری و پیشنهادات
۹۱	۴-۱: نتیجه گیری
۹۴	۴-۲: پیشنهادات
۹۵	منابع و مراجع

## فهرست اشکال و تصاویر:

عنوان	صفحه
شکل ۱-۱: ترتیب آزمایش لوزن	۸
شکل ۲-۱: نمودارهای هولسбی برای تعیین نوع پدیده رخ داده در آزمایش لوزن	۹
شکل ۳-۱: نمودارهای شش گانه P-Q	۱۱
شکل ۴-۱: تاثیر مقیاس آزمایش بر خصوصیات هیدرولیک توده سنگ (a) نمونه‌ای کوچک از محیط متخلخل (b) فرض محیط همگن در مقیاس بزرگ (c) ناهمگنی در شرایط آزمایش لوزن	۱۳
شکل ۵-۱: رابطه تجربی بین لوزن و نفوذ پذیری	۱۴
شکل ۶-۱: روش ارائه شده USBR برای تخمین K	۱۴
شکل ۷-۱: جریان دو بعدی داخل یک ناپیوستگی پرشده از مواد خاکی	۱۹
شکل ۸-۱: جریان غیر چرخشی (a) و چرخشی (b) براساس نسبت زیری نسبی به قطر هیدرولیکی	۲۱
شکل ۹-۱: شکل پروفیل سرعت در جریان خطی و آشفته	۲۱
شکل ۱۰-۱: آزمایش تراوایی بر روی توده سنگ حاوی یک دسته درزه	۲۴
شکل ۱۱-۱: مختصات‌های محلی و اصلی نسبت به موقعیت درزه (شیب و جهت شیب)	۲۵
شکل ۱۲-۱: نمونه‌ای از محاسبات تانسور تراوایی سنگ	۲۷
شکل ۱-۲: مدل فیزیکی سیستمهای جریان	۳۲
شکل ۲-۲: مقاومتها در شبیه ساز شبکه مقاومتها و شبیه سازی نشت زیر سد	۳۴
شکل ۳-۲: مدل‌های جریان در داخل توده سنگ	۳۷
شکل ۴-۲: شبکه جریان و خطوط هم پتانسیل برای محیط همگن و همسانگرد با ۴ کanal جریان (a) و ۵ کanal جریان (b)	۳۸
شکل ۵-۲: نمایی از شبکه جریان مستطیلی (برای محیط ناهمسانگرد)	۳۹
شکل ۶-۲: محاسبه نشت از زیر یک سد وزنی	۴۰
شکل ۷-۲: میزان نشت از پی	۴۱
شکل ۸-۲: تقسیم بندی محیط در روشن تکه‌ها	۴۲

- شکل ۹-۲ : انواع حالات در مدل تکه‌ای ۴۳
- شکل ۱۰-۲ : محاسبه مقدار نشت برای سازه‌ای با ابعاد مشخص ۴۳
- شکل ۱۱-۳ : روش همسایگان طبیعی ۴۸
- شکل ۱۲-۲ : نمونه برداری از مشخصات سنگی در طول یک خط ۵۰
- شکل ۱۳-۲ : مدل‌های مختلف وریوگرام (a) دایره‌ای (b) قطعه‌ای (c) نمایی (d) چاله‌ای (e) تنظیمی ۵۱
- شکل ۱۴-۲ : وریوگرام‌های مختلف (درجات مختلف) برای یک محیط ناهمسانگرد ۵۲
- شکل ۱-۳ : زمین‌شناسی ناحیه‌ای برگرفته از نقشه زمین‌شناسی ۱:۲۵۰۰۰۰ ۵۵
- شکل ۲-۳ : نمای شماتیک زونهای مختلف ژئوتکنیکی ساختگاه سد ۵۶
- شکل ۳-۳ : نقشه نقاط هم پتانسیل هیدرولیکی در محل ساختگاه سد ۶۰
- شکل ۴-۳ : نمودار معرف تانسور نفوذ پذیری در سازندهای آغازاری (شکل بالا) و بختیاری (شکل پایین) ۶۴
- شکل ۵-۳ : نمودار استریوگرافیک معرف جهت نفوذ پذیریهای اصلی در سازندهای آغازاری (شکل چپ) و بختیاری (شکل راست) حاصل از روش غیرمستقیم ۶۴
- شکل ۶-۳ : هیستوگرام نفوذ پذیریهای موجود در ساختگاه حاصل از روش مستقیم ۶۶
- شکل ۷-۳ : مقادیر لوزن درون یابی شده به روش کریجینگ در مقطع عرضی پی سد (شکل بالا) و وریوگرام در جهات اصلی (اشکال وسط) و بیضی گون تغییرات (شکل پایین) ۶۸
- شکل ۸-۳ : نمودار همبستگی بین مقادیر اصلی و تخمینی به روش کریجینگ ۶۹
- شکل ۹-۳ : ژئومتری مدل تهیه شده از سد گتوند جهت آنالیز تراوش ۷۱
- شکل ۱۰-۳ : مدل المان بندی شده از پی سد گتوند با توجه به گرادیان هیدرولیکی ۷۱
- شکل ۱۱-۳ : سیستم آب بند طراحی شده توسط شرکت مهندسی مهاب قدس ۷۴
- شکل ۱۲-۳ : مدل المان بندی شده از پی سد گتوند بعد از توزیع مقادیر نفوذ پذیری تخمین زده شده ۷۴
- شکل ۱۳-۳ : نمایی از بدن سد و ترازهای آبگیری ممکن ۷۵
- شکل ۱۴-۳ : مدل عددی سد گتوند بعد از اعمال شرایط مرزی هیدرولیکی ۷۶
- شکل ۱۵-۳ : نقشه خطوط هم پتانسیل حاصل از آنالیز آنالیز عددی ۷۸
- شکل ۱۶-۳ : هیستوگرام مقادیر زاویه انحراف از محور رودخانه در المانهای محور سد ۷۸

۸۱

شکل ۱۷-۳ : نحوه توزیع فشار آب منفذی در مقطع طولی رودخانه کارون بعد از آبگیری سد گتوند

۸۶

شکل ۱۸-۳ : نمودار مقادیر دبی عبوری برای سیستمهای آب بند در اعماق مختلف و نفوذ پذیریهای مختلف

۸۷

شکل ۱۹-۳ : نمودار مقادیر کارایی هد برای سیستمهای آب بند در اعماق مختلف و نفوذ پذیریهای مختلف

۸۷

شکل ۲۰-۳ : نمودار مقادیر کارایی جریان برای سیستمهای آب بند در اعماق مختلف و نفوذ پذیریهای مختلف

۸۹

شکل ۲۱-۳ : نمودار دبی ، برای مدل اصلی در ترازهای مختلف آبگیری

۸۹

شکل ۲۲-۳ : نمودار کارایی هد برای مدل اصلی در ترازهای مختلف آبگیری

۹۰

شکل ۲۳-۳ : نمودار کارایی جریان برای مدل اصلی در ترازهای مختلف آبگیری

## فهرست جداول:

عنوان	صفحه
جدول ۱-۱: ضریب اصطکاک، نفوذ پذیری معادل و معادلات سرعت نشت برای جریانهای مختلف	۲۲
جدول ۱-۲: انواع مدل‌های الکتریکی	۲۳
جدول ۲-۲: عناصر مشابه جریان آب در خاک و جریان الکتریسیته در هادی‌ها	۳۴
جدول ۳-۱: خصوصیات کلی ناپیوستگی‌های موجود در سازند بختیاری (در محل ساختگاه سد گتوند)	۵۷
جدول ۳-۲: طبقه بندی ناپیوستگی‌های موجود در سازند آغاجاری (در محل ساختگاه سد گتوند)	۵۸
جدول ۳-۳: خصوصیات کلی ناپیوستگی‌های موجود در سازند آغاجاری (در محل ساختگاه سد گتوند)	۵۹
جدول ۴-۳: گرادیان هیدرولیکی در محل سد گتوند	۶۰
جدول ۵-۳-الف: خلاصه نتایج آزمایش فشار آب	۶۱
جدول ۵-۳-ب: مقادیر متوسط لوژن در هریک از واحدهای زمین شناسی	۶۲
جدول ۳-۶: نفوذ پذیری هیدرولیکی سنگها و توده‌های سنگی شاخص	۶۳
جدول ۳-۷: مقادیر متوسط نفوذ پذیری‌های اصلی حاصل از روش غیر مستقیم و جهت هریک از آنها	۶۵
جدول ۳-۸: میزان ضریب همگرایی برای روش‌ها مختلف درون یابی	۶۷
جدول ۹-۳: مقادیر دسته‌بندی شده لوژن و ضرایب نفوذ پذیر معادل هریک از آنها	۷۰
جدول ۱۰-۳: مقادیر دبی محاسبه شده به روش‌های عددی و تحلیلی و درصد خطای آنها	۸۰
جدول ۱۱-۳: مقادیر دبی جریان، کارایی هد و کارایی جریان برای مدلی با ارتفاع پرده آب بند ۱۳ و نفوذ پذیری بین ۱ تا ۷ لوژن	۸۳
جدول ۱۲-۳: مقادیر دبی جریان، کارایی هد و کارایی جریان برای مدلی با ارتفاع پرده آب بند ۲۳ و نفوذ پذیری بین ۱ تا ۷ لوژن	۸۳

جداول ۱۳-۳: مقادیر دبی جریان ، کارایی هد و کارایی جریان برای مدلی با ارتفاع پرده آب	
جداول ۱۴-۳: مقادیر دبی جریان ، کارایی هد و کارایی جریان برای مدلی با ارتفاع پرده آب	
جداول ۱۵-۳: مقادیر دبی جریان ، کارایی هد و کارایی جریان برای مدلی با ارتفاع پرده آب	
جداول ۱۶-۳: مقادیر دبی جریان ، کارایی هد و کارایی جریان برای مدلی با ارتفاع پرده آب	
جداول ۱۷-۳: مقادیر دبی جریان ، کارایی هد و کارایی جریان برای مدلی با ارتفاع پرده آب	
جداول ۱۸-۳: مقادیر دبی جریان ، کارایی هد و کارایی جریان برای مدلی با ارتفاع پرده آب	
جداول ۱۹-۳: مقادیر دبی جریان ، کارایی هد و کارایی جریان برای مدلی با ارتفاع پرده آب	
جداول ۲۰-۳: مقادیر دبی جریان ، کارایی هد و کارایی جریان برای مدلی با ارتفاع پرده آب	
جداول ۲۱-۳: مقادیر دبی ، کارایی جریان و کارایی هد برای مدل اصلی در ترازهای مختلف	آبگیری

## **مقدمه**

## مقدمه :

بعد از ساخت سدها و با آبگیری سد ، تدریجا شبکه جریان آب زیرزمینی نیز با افزایش هد آب تغییر می کند و باعث گسترش دامنه جریان به تکیه گاهها و نفوذ بیشتر جریان در پی سد می گردد ، از این رو در مراحل طراحی و ساخت و بهره برداری سد ، همواره میزان نشت<sup>۱</sup> و میزان فشار آب منفذی<sup>۲</sup> حاصل از آن مورد تحلیل قرار می گیرد.

به منظور جلوگیری از پیامدهای منفی این پدیده مثل افزایش فشار برخاست<sup>۳</sup> ، خطرات پایداری سطوح شیبدار<sup>۴</sup> ، فرسایش شالوده<sup>۵</sup> ، شکست هیدرولیکی<sup>۶</sup> و فرار آب مخزن<sup>۷</sup> ، روشاهای مختلفی اعم از ایجاد پرده آب بند ، احداث دیوار آب بند ، حفر چاههای فشار شکن و ... وجود دارد ، که میزان تاثیر هریک از این روشاهای را با ایجاد مدلی می توان بررسی کرد.

سیستم جریان آب در محیطهای سنگی و خاکی را در حالت خیلی ساده می توان با روشاهای تحلیلی ، بررسی کرد . روشاهای مختلف حل مسائل حرکت آب در خاک عبارتند

---

<sup>1</sup>.Seepage

<sup>2</sup>.Pore pressure

<sup>3</sup>.Up lift

<sup>4</sup>.Slope stability hazardous

<sup>5</sup>.Erosion

<sup>6</sup>.Hydraulic fracturing

<sup>7</sup>.Seepage

از : روش تحلیلی ، روش عددی ، روش آنالوگهای الکتریکی ، روش مدلسازی فیزیکی و روش ترسیم شبکه جریان.

معمولًا به خاطر سادگی محاسبات جریان آب زیرزمینی را در به صورت دو بعدی و در امتداد مسیر رودخانه تحلیل می‌کنند. اما روشهای دو بعدی قادر به اندازه‌گیری میزان تغییرات جریان در تکیه‌گاهها نبوده و از طرف دیگر در این روشهای میزان تغییرات شبکه جریان در جهت عمود بر پروفیل عرضی سد یا رودخانه صفر در نظر گرفته می‌شوند و لذا این تغییرات در این مدلها نادیده گرفته می‌شوند.

از طرفی تجربیات اخیر در نقاط مختلف دنیا و کشور ایران گویای این مطلب است که میزان نشت جریان از تکیه‌گاهها تاثیر بسزایی در نشت کلی جریان داشته و نیز پروفیل تغییرات در جهت عرضی نیز گاهای باعث ایجاد مشکلات بسزایی بعد از مرحله آبگیری سد شده ، که از نمونه‌های اخیر می‌توان به اشکالات موجود در سیستم آببند سد کرخه اشاره کرد. لذا جهت اجتناب از این خطاهای در تحقیق حاضر مدل هیدرولیکی جریان به صورت سه بعدی در نظر گرفته شده و از میان روشهای موجود برای مدلسازی مسئله از روش عددی المانهای محدود FEM<sup>۱</sup> استفاده شده که جهت ارزیابی دقیق این مدلها نیز از فرمولهای تحلیلی استفاده شده است.

به منظور تحلیل فرایند نشت در محل پی سدها با کمک روشهای تحلیلی و عددی یکی از مهمترین پارامترهای مورد نیاز ضریب نفوذپذیری<sup>۲</sup> توده سنگ مورد نظر است. این ضریب که نخستین بار توسط دارسی<sup>۳</sup> معرفی شد با روشهای گوناگونی قابل اندازه‌گیری می‌باشد.

---

<sup>1</sup>.Finite Element methods

<sup>2</sup>.Permeability

<sup>3</sup>.Darcy

نکته قابل توجه در محیط‌های سنگی این است که ضریب نفوذ پذیری توده سنگ الزاما یک پارامتر همگن<sup>۱</sup> و همسانگرد<sup>۲</sup> نمی‌باشد، بلکه با توجه به اینکه محیط طبیعی سنگ برخلاف محیط‌های خاکی دارای ناپیوستگی‌های طبیعی است، درجه همسانگردی آن متغیر است و از طرف دیگر با توجه به تغییرات کلیه پارامترهای زمین شناسی در یک محدوده زمین شناسی خاص میزان همگن بودن محیط نیز متغیر است. لذا ضریب نفوذ پذیری نیز مانند اکثر پارامترهای فیزیکی و مکانیکی سنگ، یک مقدار اسکالر نبوده، بلکه یک تانسور مرتبه سه می‌باشد که می‌تواند در نقاط و جهت‌های مختلف مقادیر مختلفی را به خود اختصاص دهد.

به منظور محاسبه اندازه و جهت ضرایب نفوذ پذیری اصلی، در مرحله اول با استفاده از خصوصیات ناپیوستگی‌های موجود در محل ساختگاه سد گتوند علیا، مقادیر نفوذ پذیری اصلی و جهت هریک از آنها در هریک از سازندهای موجود در ساختگاه سد با استفاده از قانون مکعب<sup>۳</sup> و روابط ماتریسی محاسبه گردید.

روش مذکور روش غیرمستقیم محاسبه ضریب نفوذ پذیری می‌باشد. علاوه بر روش غیرمستقیم، روش اصلی اندازه‌گیری تراوایی توده سنگ، انجام نوعی آزمایش بر جا موسوم به آزمایش فشار آب WPT<sup>۴</sup> است که به نام مبدع آن لوژن<sup>۵</sup> شناخته شده است.

مقادیر ضریب نفوذ پذیری بدست آمده از آزمایش لوفران (که برای محیط‌های خاکی و آبرفتی کاربرد دارد). معادل ضریب نفوذ پذیری دارسی بوده و دارای واحد متر بر ثانیه می‌باشد، بنابراین به صورت مستقیم قابل استفاده در تحلیلهای مختلف می‌باشد ولی مقادیر حاصل از آزمایش لوژن بر حسب واحد  $L \cdot l$  می‌باشد. یک واحد لوژن  $L \cdot l$  برابر است با خروج یک لیتر آب در یک دقیقه در یک متر از طول مقطع آزمایش تحت فشار ۱۰ بار. لذا

<sup>1</sup>.Homogen

<sup>2</sup>.Isotropy

<sup>3</sup>.Cubic law

<sup>4</sup>.Water Pressure Test

<sup>5</sup>.Lugeon

برای تبدیل مقدار لوزن به ضریب نفوذ پذیری دارسی روشها و فرمولهای مختلفی ارائه شده ، که در این تحقیق از نمودارهای تجربی ارائه شده توسط کوتزنر استفاده شد.

با مقایسه ضرایب نفوذ پذیری حاصل از تحلیل ناپیوستگیها و مقادیر حاصل از آزمون لوزن مشخص شد که مقادیر حاصل ازآزمایش بر جای لوزن بسیار کوچکتر از مقادیر محاسبه شده به روش غیر مستقیم تحلیل ناپیوستگیها می باشد ولی دارای نزدیکی بیشتری نسبت به مقادیر متوسط نفوذ پذیری در سازندهای مربوطه می باشند ، لذا در ادامه با در نظر گرفتن این مقادیر به عنوان مقادیر نمایانگر تراوایی در محیط و فرض همسانگردی محیط پی سد ، یک مدل پیوسته سه بعدی از نوع عددی برای آنالیز تراوش از پی سد تهیه گردید.

از آنجاکه مقادیر لوزن و به تبع آن ضرایب نفوذ پذیری در نقاط مختلف دره مزبور تغییر می کند ، بنابراین محیط موردنظر از نظر نفوذ پذیری ناهمگن<sup>۱</sup> می باشد ، لذا در این مرحله با استفاده از روشهای مختلف ، اقدام به درون یابی و تخمین مقادیر لوزن در تمام نقاط موجود در مراکز المانهای مدل عددی تهیه شده کردیم . لازم به ذکر است که در این پایان نامه از روشهای شبکه عصبی مصنوعی ANN<sup>۲</sup> و موتور استنتاج تطبیقی عصبی - فازی ANFIS<sup>۳</sup> به عنوان یکی از گزینه ها جهت درون یابی مقادیر لوزن استفاده گردید . درنهایت با مقایسه تمام این گزینه ها روش زمین آماری کریجینگ دایره ای به عنوان بهترین روش انتخاب و اقدام به تهیه مدل براساس این روش گردید.

درنهایت نیز جهت برآورد عملکرد سیستم آب بند طراحی شده توسط شرکت مهاب قدس ، با تغییر در پارامترهای عمق سیستم آب بند و ضریب نفوذ پذیری پرده آب بند ، میزان

<sup>1</sup>.Heterogen

<sup>2</sup>.Artificial Neural Network

<sup>3</sup>.Adaptive Neuro-Fuzzy Inferring System

نشت و کارایی این سیستم در حالت‌های مختلف محاسبه و نتایج و پیشنهادات لازم ارائه گردیده است.

در فصل اول از این پایان نامه ابتدا روش‌های مختلف محاسبه ضریب هدایت هیدرولیکی معرفی شده و در ادامه نیز با توجه به تاثیر پذیری مقدار ضریب هدایت هیدرولیکی از نوع جريان حاکم در داخل درزه‌ها، به معرفی مدل‌های رفتاری گوناگون جريان در داخل ناپيوستگيها مى پردازيم.

در فصل دوم اين تحقیق نیز روش‌های مختلف برای اندازه‌گیری میزان نشت از محل پس انواع سدها آمده و در ادامه نیز مختصری از روش‌های رایج درون يابي ذكر شده است.

در فصل سوم، بعد از معرفی کلیات پروژه گتوند، ابتدا مطالعات قبلی صورت گرفته در محل ساختگاه سد گتوند را مرور کرده و سپس به روش غیر مستقیم و مستقیم میزان نفوذپذیری را در محل ساختگاه سد محاسبه و با توجه به نتایج حاصل، مقادیر نفوذ پذیری حاصل از روش غیر مستقیم را جهت ادامه تحلیل مناسب تشخیص داده شد لذا با روش‌های مختلف درون يابي، اقدام به تخمين اين مقادير در تمامی نقاط مرکزی الماهات مدل عددی ساخته شده جهت بررسی نشت از پي سد كرديم و درنهایت نیز با اعمال شرایط مرزی در مدل مذکور مقدار نشت از پي سد محاسبه و نتایج حاصل از مدل عددی مذکور با روش‌های تحلیلی مقایسه گردید. سپس این آنالیز برای سیستمهای آب بند مختلف تکرار گردید تا میزان کارایی سیستم آب بند مورد نظر در هر یک از حالات مذکور بدست آید.

درنهایت نیز در فصل چهارم نتایج و پیشنهادات حاصل از این تحقیق آمده است.

فصل اول:

محاسبه ضریب هدایت هیدرولیکی و  
ویژگیهای جریان